

doi: <https://doi.org/10.15407/dopovidi2019.01.072>

УДК 546.42'651'682

**Ю.О.Тітов¹, Н.М.Білявина¹, М.С.Слободянік¹,
В.В.Чумак², М.В.Тимошенко¹, Л.В.Томазенко¹**

¹ Київський національний університет ім. Тараса Шевченка

² Житомирський державний університет ім. Івана Франка

E-mail: tit@univ.kiev.ua

Синтез та особливості будови шаруватої структури $\text{SrLa}_{1-x}\text{Sm}_x\text{InO}_4$

Представлено членом-кореспондентом НАН України М.С.Слободяніком

Визначено умови заміщення атомів La на атоми Sm у шаруватій перовськітоподібній структурі (ШПС) індатів $\text{SrLa}_{1-x}\text{Sm}_x\text{InO}_4$: $0 \leqslant x \leqslant 0,4$. Методом Рітвельда визначена ромбічна (пр. гр. $P\bar{b}ca$) кристалічна структура фаз складу $\text{SrLa}_{1-x}\text{Sm}_x\text{InO}_4$ з $x = 0,2$ і $0,4$. Встановлено, що в результаті заміщення атомів La на атоми Sm в ШПС $\text{SrLa}_{1-x}\text{Sm}_x\text{InO}_4$ відбувається поступове зменшення ступеня деформації міжблочних поліедрів $(\text{Sr}, \text{La}, \text{Sm})\text{O}_9$ та середньої відстані In—O в октаедрах InO_6 , а також значно збільшується довжина міжблочних зв'язків $(\text{Sr}, \text{La}, \text{Sm})—\text{O}_2$. Зі збільшенням відстані між перовськітоподібними блоками зменшується міцність їх зв'язування між собою, що призводить до руйнування ШПС і обмежує область твердих розчинів $\text{SrLa}_{1-x}\text{Sm}_x\text{InO}_4$ з ШПС.

Ключові слова: індати $\text{SrLa}_{1-x}\text{Sm}_x\text{InO}_4$, шарувата перовськітоподібна структура, рентгенівська порошкова дифрактометрія, ізоморфізм, тверді розчини.

Синтез та дослідження нових сполук Рудлесдена—Попера загального складу $\text{A}_{n+1}\text{B}_n\text{O}_{3n+1}$ (n — число шарів октаедрів BO_6 у перовськітоподібному блоці) з шаруватою перовськітоподібною структурою (ШПС) мають як теоретичне, так і практичне значення, оскільки сполукам цього сімейства притаманний широкий спектр цінних властивостей (зокрема, таких як люмінесцентні, резистивні, надпровідні, значний магнітоопір, сегнетоелектричні властивості, каталітична активність та інші) [1–7].

Для одношарових ($n = 1$) індієвмісних сполук типу A_2BO_4 встановлена наявність у $\text{A}^{\text{II}}\text{LaInO}_4$ іонопровідних властивостей [3], які обумовлюють перспективу їх використання як твердих електролітів, а також люмінесцентних властивостей у $\text{Sr}_{1,5}\text{Ln}_{0,5}\text{In}_{0,5}\text{Sn}_{0,5}\text{O}_4$ [4]. Проте обмежене число відомих одношарових індатів не давало змоги провести повноцінний аналіз особливостей будови цього підкласу сполук та встановити кристалохімічні фактори, які обумовлюють морфотропний перехід ШПС у ряду індатів $\text{A}^{\text{II}}\text{LnInO}_4$.

© Ю.О.Тітов, Н.М.Білявина, М.С.Слободянік, В.В.Чумак, М.В.Тимошенко, Л.В.Томазенко, 2019

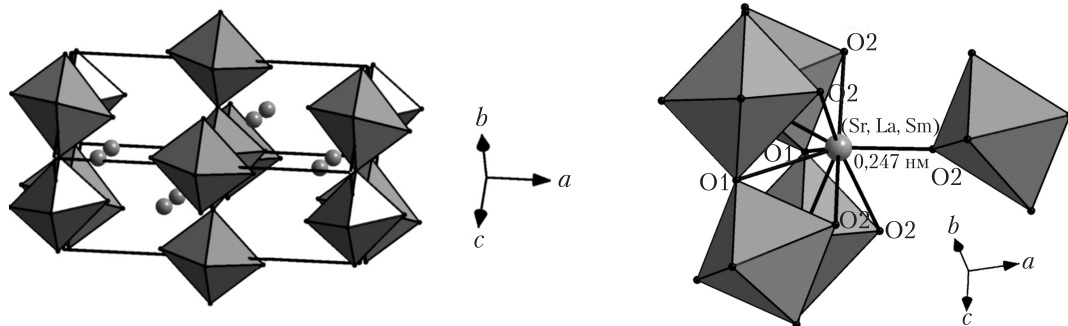


Рис. 1. Кристалічна структура $SrLa_{0.8}Sm_{0.2}InO_4$ у вигляді октаедрів InO_6 та атомів Sr, La, Sm (кружечки)

Рис. 2. Будова міжблочної границі в ШПС $SrLa_{0.6}Sm_{0.4}InO_4$ у вигляді октаедрів InO_6 та атомів Sr, La, Sm (сірий кружечок)

Мета даної роботи — синтез фаз $SrLa_{1-x}Sm_xInO_4$ та пошук взаємозв'язків склад—особливості будови їх ШПС.

Синтез інданів $SrLa_{1-x}Sm_xInO_4$ проводили шляхом сумісної кристалізації (випарування при інтенсивному перемішуванні) суміші водних розчинів нітратів Sr, La, Sm та In зі співвідношенням $Sr : La : Sm : In = 1 : 1 - x : x : 1$ з подальшою термообробкою одержаного продукту на газовому пальнику для видалення основної маси оксидів нітрогену. Отриману таким способом шихту перетирали, пресували у вигляді дисків та піддавали термообробці при 1570 К до досягнення незмінного фазового складу. Як вихідні використано нітрати Sr, РЗЕ та In марок “хч”.

Рентгенівські дифракційні спектри полікристалічних зразків записано на дифрактометрі Shimadzu XRD-6000 в дискретному режимі (крок сканування $0,02^\circ$, експозиція в точці 7 с, інтервал кутів $2\theta = 18 \div 82^\circ$) на мідному фільтрованому (дуговий графітовий монохроматор перед лічильником) CuK_α випромінюванні. Кристалічна структура одержаних зразків визначена методом Рітвельда. Первинна обробка дифракційних спектрів та структурні розрахунки виконано з використанням апаратно-програмного комплексу як описано в [8].

Результати рентгенофазового аналізу термообрізаних зразків показали, що фази $SrLa_{1-x}Sm_xInO_4$ з ШПС існують в інтервалі значень $0 \leq x \leq 0,4$. У випадку подальшого зростання ступеня заміщення атомів лантану на атоми самарію в одношарових інданах $SrLa_{1-x}Sm_xInO_4$ починається руйнування ШПС і утворення другої фази зі структурою типу $CaFe_2O_4$, у В-позиції якої одночасно розташовані атоми Sm та In.

Виходячи із встановлених меж області існування фаз з ШПС у системі $SrLa_{1-x}Sm_xInO_4$, для пошуку кореляцій склад—особливості будови ШПС нами визначено ШПС фаз $SrLa_{1-x}Sm_xInO_4$ зі ступенями заміщення атомів лантану (x) рівними 0,2 та 0,4.

Дифрактограми одержаних термообробкою шихти спільно закристалізованих нітратів фаз $SrLa_{1-x}Sm_xInO_4$ з ШПС подібні до дифрактограм $SrLaInO_4$, а індексування показало належність їх ШПС до ромбічної сингонії. Систематика погасань відбитків (наявні відбиття: hkl — будь-які, $0kl$ з $k = 2n$, $h0l$ з $l = 2n$, $hk0$ з $h = 2n$, $h00$, $0k0$, $00l$ з $h,k,l = 2n$) вказує на належність кристалічної структури $SrLa_{1-x}Sm_xInO_4$ з ШПС до центросиметричної просторової групи $Pbca$.

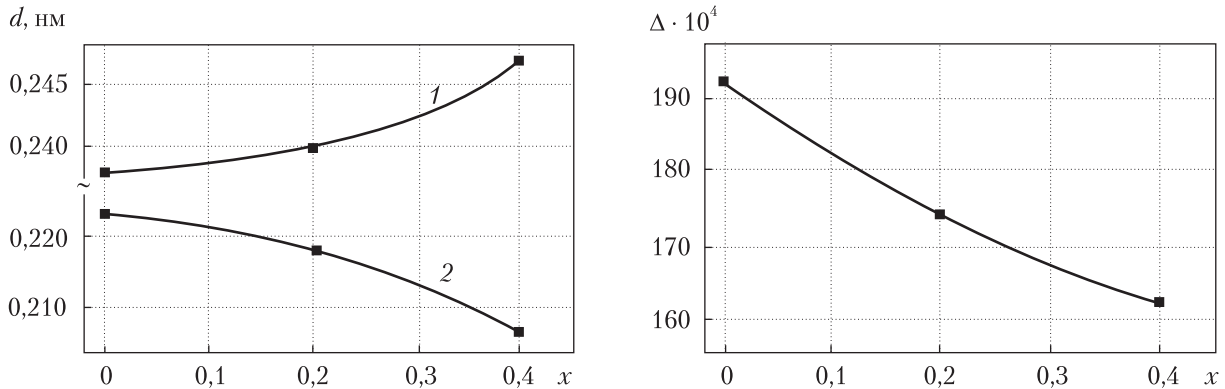


Рис. 3. Залежності довжини міжблочного зв'язку (Sr, Ln) – O_2 (1) та довжини зв'язку In – O_2 в октаедрах InO_6 (2) в ШПС $SrLa_{1-x}Sm_xInO_4$ від ступеня заміщення атомів лантану (значення x)

Рис. 4. Залежність ступеня деформації (Δ) поліедрів (Sr, La, Sm) O_9 в ШПС $SrLa_{1-x}Sm_xInO_4$ від ступеня заміщення атомів лантану (значення x)

Первинну оцінку координатних параметрів для початкових моделей ШПС фаз $SrLa_{1-x}Sm_xInO_4$ проведено за відомими структурними даними для індути $SrLaInO_4$ (пр. $Pbca$) [9]. Зіставлення експериментальних і розрахованих для таких моделей структури інтенсивностей показало їх задовільну збіжність. Результати уточнення побудовані в пр. гр. $Pbca$ моделей структури $SrLa_{1-x}Sm_xInO_4$ наведені в табл. 1, 2. Встановлений у результаті розрахунку структури склад зазначених фаз у межах похибки визначення відповідає експериментально заданому.

ШПС фаз $SrLa_{1-x}Sm_xInO_4$ ($x = 0,2$ та $0,4$) побудована двовимірними (некінченними в напрямках осей Y і Z) перовськітоподібними блоками завтовшки в один шар деформованих октаедрів InO_6 (значення довжини відстаней In – O знаходяться в межах від 0,202(2) до 0,220(1) нм). Блоки зсунуті один відносно іншого вздовж діагоналі площини YZ на півребра перовськітового куба. Октаедри InO_6 в перовськітоподібному блокі ШПС $SrLa_{1-x}Sm_xInO_4$ зв'язані між собою тільки вершинами і кожний октаедр InO_6 має чотири спільні вершини із сусідніми октаедрами одного і того ж блока (рис. 1). Безпосередній зв'язок між октаедрами InO_6 сусідніх перовськітоподібних блоків у ШПС $SrLa_{1-x}Sm_xInO_4$ відсутній. Блоки розділені міжблочним шаром поліедрів (Sr, La, Sm) O_9 і утримуються разом за допомогою зв'язків – O –(Sr, La, Sm)– O .

В одношаровій ШПС $SrLa_{1-x}Sm_xInO_4$ катіони Sr, La, Sm розташовані на межі перовськітоподібного блока, а їх розподіл в позиції $8c$ має статистичний характер. З дев'яти атомів оксигену поліедра (Sr, La, Sm) O_9 вісім атомів (четири $O1$ та четири $O2$) належать до того ж блока, що і атоми (Sr, La, Sm), а дев'ятий атом оксигену $O2$ є аксіальним атомом октаедра InO_6 сусіднього перовськітоподібного блока (рис. 2).

Аналіз одержаних нами даних про ШПС фаз $SrLa_{1-x}Sm_xInO_4$ та відомих даних для індути $SrLaInO_4$ [9] показав, що заміна в А-позиції ШПС індути $SrLaInO_4$ атомів лантану на менші за розміром атоми самарію призводить до послідовної перебудови його ШПС. Зокрема, найістотніші зміни відбуваються із зовнішньоблоочними поліедрами (Sr, Ln) O_9 , а саме: значно збільшується довжина міжблочних зв'язків (Sr, Ln)– $O2$ (рис. 3, 1) та змен-

Таблиця 1. Структурні дані $SrLa_{1-x}Sm_xInO_4$

Позиція	Атом	Заповнення	SrLaInO ₄ [9]			SrLa _{0,8} Sm _{0,2} InO ₄			SrLa _{0,6} Sm _{0,4} InO ₄		
			X	Y	Z	X	Y	Z	X	Y	Z
8c	Sr	0,5	0,1454(2)	-0,0174(2)	0,9718(3)	0,1471(1)	0,9867(2)	0,9649(3)	0,1473(2)	0,9928(2)	0,9579(3)
8c	La	{0,5}	0,1454(2)	-0,0174(2)	0,9718(3)	0,1471(1)	0,9867(2)	0,9649(3)	0,1473(2)	0,9928(2)	0,9579(3)
8c	Sm	—	—	—	—	0,1471(1)	0,9867(2)	0,9649(3)	0,1473(2)	0,9928(2)	0,9579(3)
4b	In	1	0,5	0	0	0,5	0	0	0,5	0	0
8c	O1	1	0,032(2)	0,235(3)	0,225(2)	0,001(2)	0,229(2)	0,212(3)	0,037(2)	0,249(3)	0,230(2)
8c	O2	1	0,327(3)	0,065(2)	0,048(2)	0,331(3)	0,082(2)	0,018(2)	0,340(3)	0,083(2)	-0,030(2)
Просторова група <i>Pbca</i> (№ 61)											
Періоди кристалічної гратки, нм			$a = 1,2594(2)$	$b = 0,58747(7)$	$c = 0,58400(8)$	$a = 1,2564(2)$	$b = 0,58695(8)$	$c = 0,58649(7)$	$a = 1,2514(3)$	$b = 0,5849(1)$	$c = 0,5867(2)$
Незалежні відбиття			116	132	132	0,13(3) · 10 ⁻²	0,68(2) · 10 ⁻²	0,68(2) · 10 ⁻²	0,68(2) · 10 ⁻²	0,68(2) · 10 ⁻²	0,68(2) · 10 ⁻²
Загальний ізотропний <i>B</i> фактор (нм ²)			$1,11(5) \cdot 10^{-2}$	$R_w = 0,047$	$R_w = 0,047$	$R_w = 0,047$	$R_w = 0,047$	$R_w = 0,047$	$R_w = 0,047$	$R_w = 0,047$	$R_w = 0,047$
Фактор недостовірності											

Таблиця 2. Міжатомні відстані (нм) та ступінь деформації (Δ) поліедрів $(\text{Sr}, \text{Ln})\text{O}_9$ і InO_6 в кристалічних структурах $\text{SrLa}_{1-x}\text{Sm}_x\text{InO}_4$ ($x = 0, 0,2, 0,4$)

Відстані	d , нм			Відстані	d , нм		
	SrLaInO_4 [9]	$\text{SrLa}_{0,8}\text{Sm}_{0,2}\text{InO}_4$	$\text{SrLa}_{0,6}\text{Sm}_{0,4}\text{InO}_4$		SrLaInO_4 [9]	$\text{SrLa}_{0,8}\text{Sm}_{0,2}\text{InO}_4$	$\text{SrLa}_{0,6}\text{Sm}_{0,4}\text{InO}_4$
Sr, Ln—O2	0,238(2)*	0,240(1)*	0,240(2)	In—O1	0,208(1)	0,202(2)	0,205(2)
Sr, Ln—O2	0,252(1)	0,241(2)	0,247(2)*	In—O1	0,208(1)	0,202(2)	0,205(2)
Sr, Ln—O2	0,252(2)	0,267(1)	0,290(2)	In—O1	0,216(2)	0,216(1)	0,220(1)
Sr, Ln—O1	0,254(2)	0,248(2)	0,244(1)	In—O1	0,216(2)	0,216(1)	0,220(1)
Sr, Ln—O1	0,262(1)	0,274(2)	0,259(2)	In—O2	0,223(2)	0,218(2)	0,207(2)
Sr, Ln—O1	0,282(1)	0,289(1)	0,292(1)	In—O2	0,223(2)	0,218(2)	0,207(2)
Sr, Ln—O1	0,320(3)	0,306(2)	0,327(2)				
Sr, Ln—O2	0,339(2)	0,328(3)	0,304(2)				
Sr, Ln—O2	0,347(3)	0,352(2)	0,346(3)				
Середня відстань (Sr,Ln)—O	0,283	0,283	0,283	Середня відстань In—O	0,216	0,212	0,211
$\Delta(\text{Sr,Ln})\text{O}_9$	$192 \cdot 10^{-4}$	$174 \cdot 10^{-4}$	$162 \cdot 10^{-4}$	ΔInO_6	$8 \cdot 10^{-4}$	$11 \cdot 10^{-4}$	$10 \cdot 10^{-4}$

Примітка. Ступінь деформації поліедрів MeO_n розраховано за формулою $\Delta = 1/n\sum[(R_i - \bar{R})/\bar{R}]^2$ (R_i – відстані Me—O, \bar{R} – середня відстань Me—O, n – координаційне число) [10]. * Міжблочна відстань.

шується ступінь деформації міжблочних поліедрів $(\text{Sr}, \text{Ln})\text{O}_9$ (рис. 4). Одночасно зі збільшенням значень x відбувається зменшення як аксіальної відстані In—O2 (див. рис. 3, 2), так і середньої відстані In—O в октаедрах InO_6 (див. табл. 2).

Зростання відстані між перовськітоподібними блоками зі збільшенням ступеня заміщення атомів лантану в ШПС фаз $\text{SrLa}_{1-x}\text{Sm}_x\text{InO}_4$ спричиняє зменшення міцності зв'язування сусідніх блоків між собою, що врешті призводить до руйнації ШПС та пояснює обмеженість області твердих розчинів $\text{SrLa}_{1-x}\text{Sm}_x\text{InO}_4$ з ШПС значенням $x \leq 0,4$ і відсутність сполуки SrSmInO_4 . Збільшення довжини міжблочних зв'язків —O2—(Sr,Ln)—O2— призводить відповідно до скорочення аксіальної відстані In—O2 в октаедрах InO_6 та сприяє зменшенню середньої відстані In—O в октаедрах InO_6 . Можна очікувати, що однією з головних причин дестабілізації ШПС фаз складу $\text{SrLa}_{1-x}\text{Ln}^{\text{I}}_x\text{InO}_4$ ($\text{Ln}^{\text{I}} = \text{Nd}, \text{Eu}—\text{Lu}$) також буде зменшення міцності зв'язування між собою сусідніх перовськітоподібних блоків.

Таким чином, у даній роботі встановлено умови ізовалентного заміщення атомів лантану в іннаті SrLaInO_4 по типу $\text{SrLa}_{1-x}\text{Sm}_x\text{InO}_4$ ($0 \leq x \leq 0,4$) та визначено будову ШПС фаз $\text{SrLa}_{1,8}\text{Sm}_{0,2}\text{InO}_4$ і $\text{SrLa}_{1,6}\text{Sm}_{0,4}\text{InO}_4$. Аналіз одержаних даних дав змогу виявити характер впливу ізовалентного заміщення атомів лантану на будову ШПС фаз $\text{SrLa}_{1-x}\text{Sm}_x\text{InO}_4$ та встановити структурні фактори, які обмежують область їх існування. Визначення залежностей будови ШПС фаз $\text{SrLa}_{1-x}\text{Sm}_x\text{InO}_4$ від складу дасть можливість регулювання параметрів їх функціональних властивостей, які для великої частини оксидних сполук значною мірою обумовлені будовою їх кристалічної структури.

ЦИТОВАНА ЛІТЕРАТУРА

1. Александров К.С., Безносиков Б.В. Перовскиты. Настоящее и будущее. Новосибирск: Изд-во СО РАН, 2004. 231 с.
2. Schaak R.E., Mallouk T.E. Perovskites by design: a toolbox of solid-state reactions. *Chem. Mater.* 2002. **14**, № 4. P. 1455–1471. doi: <https://doi.org/10.1021/cm010689m>
3. Kato S., Ogasawara M., Sugai M., Nakata S. Synthesis and oxide ion conductivity of new layered perovskite $La_{1-x}Sr_{1+x}InO_{4-d}$. *Solid State Ionics*. 2002. **149**, № 1–2. P. 53–57. doi: [https://doi.org/10.1016/S0167-2738\(02\)00138-8](https://doi.org/10.1016/S0167-2738(02)00138-8)
4. Titov Yu., Nedilko S.G., Chornii V., Scherbatskii V., Belyavina N., Markiv V., Polubinskii V. Crystal structure and luminescence of layered perovskites $Sr_3LnInSnO_8$. *Solid State Phenomena*. 2015. **230**. P. 67–72. doi: <https://doi.org/10.4028/www.scientific.net/SSP.230.67>
5. Kim I.S., Nakamura T., Itoh M. Humidity sensing effects of the layered oxides $SrO\cdot(LaScO_3)_n$ ($n = 1, 2, \infty$). *J. Ceram. Soc. Jap.* 1993. **101**, № 7. P. 800–803. doi: <https://doi.org/10.2109/jcersj.101.800>
6. Yang H.M., Shi J.X., Gong M.L. A new luminescent material, $Sr_2SnO_4 : Eu^{3+}$. *J. Alloys Compd.* 2006. **415**, № 1–2. P. 213–215. doi: <https://doi.org/10.1016/j.jallcom.2005.04.221>
7. Ueda K., Yamashita T., Nakayashiki K., Goto K., Maeda T., Furui K., Ozaki K., Nakachi Y., Nakamura S., Fujisawa M., Miyazaki T. Green, orange, and magenta luminescence in strontium stannates with perovskite-related structures. *Jap. J. Appl. Phys.* 2006. **45**, № 9A. P. 6981–6983. doi: <https://doi.org/10.1143/JJAP.45.6981>
8. Dashevskyi M., Boshko O., Nakonechna O., Belyavina N. Phase transformations in equiatomic Y–Cu powder mixture at mechanical milling. *Metallofiz. Noveishie Tekhnol.* 2017. **39**, № 4. P. 541–552. doi: <https://doi.org/10.15407/mfint.39.04.0541>
9. Тітов Ю.О., Білявина Н.М., Марків В.Я., Слободянік М.С., Краєвська Я.А. Синтез і кристалічна структура $BaLaInO_4$ та $SrLnInO_4$ ($Ln = La, Pr$). *Допов. Нац. акад. наук України*. 2009. № 10. С. 160–166.
10. Shannon R.D. Revised effective ionic radii and systematic studies of interatomic distances in halides and halogenides. *Acta Crystallogr.* 1976. **A32**. P. 751–767.

Надійшло до редакції 21.09.2018

REFERENCES

1. Alexandrov, K. C. & Beznosikov, B. V. (2004). Perovskites. Present and future. Novosibirsk: Izd-vo SO RAN (in Russian).
2. Schaak, R. E. & Mallouk, T. E. (2002). Perovskites by design: a toolbox of solid-state reactions. *Chem. Mater.*, 14, No. 4, pp. 1455–1471. doi: <https://doi.org/10.1021/cm010689m>
3. Kato, S., Ogasawara, M., Sugai, M. & Nakata, S. (2002). Synthesis and oxide ion conductivity of new layered perovskite $La_{1-x}Sr_{1+x}InO_{4-d}$. *Solid state ionics*, 149, No. 1–2, pp. 53–57. doi: [https://doi.org/10.1016/S0167-2738\(02\)00138-8](https://doi.org/10.1016/S0167-2738(02)00138-8)
4. Titov, Yu., Nedilko, S. G., Chornii, V., Scherbatskii, V., Belyavina, N., Markiv, V. & Polubinskii, V. (2015). Crystal structure and luminescence of layered perovskites $Sr_3LnInSnO_8$. *Solid State Phenomena*, 230, pp. 67–72. doi: <https://doi.org/10.4028/www.scientific.net/SSP.230.67>
5. Kim, I. S., Nakamura, T. & Itoh, M. (1993). Humidity sensing effects of the layered oxides $SrO\cdot(LaScO_3)_n$ ($n = 1, 2, \infty$). *J. Ceram. Soc. Jap.*, 101, No. 7, pp. 800–803. doi: <https://doi.org/10.2109/jcersj.101.800>
6. Yang, H. M., Shi, J. X. & Gong, M. L. (2006). A new luminescent material, $Sr_2SnO_4 : Eu^{3+}$. *J. Alloys Compd.*, 415, No. 1–2, pp. 213–215. doi: <https://doi.org/10.1016/j.jallcom.2005.04.221>
7. Ueda, K., Yamashita, T., Nakayashiki, K., Goto, K., Maeda, T., Furui, K., Ozaki, K., Nakachi, Y., Nakamura, S., Fujisawa, M. & Miyazaki, T. (2006). Green, orange, and magenta luminescence in strontium stannates with perovskite-related structures. *Jap. J. Appl. Phys.*, 45, No. 9A, pp. 6981–6983. doi: <https://doi.org/10.1143/JJAP.45.6981>
8. Dashevskyi, M., Boshko, O., Nakonechna, O. & Belyavina, N. (2017). Phase transformations in equiatomic Y–Cu powder mixture at mechanical milling. *Metallofiz. Noveishie Tekhnol.*, 39, No. 4, pp. 541–552. doi: <https://doi.org/10.15407/mfint.39.04.0541>

9. Titov, Y. O., Belyavina, N. M., Markiv, V. Ya., Slobodyanik, M. S. & Krayevska, Ya. A. (2009). Synthesis and crystal structure of BaLaInO₄ and SrLnInO₄ (Ln = La, Pr). Dopov. Nac. akad. nauk Ukr., No. 10, pp. 160-166 (in Ukrainian).
10. Shannon, R. D. (1976). Revised effective ionic radii and systematic studies of interatomic distances in halides and halogenides. Acta Crystallogr., A32, pp. 751-767.

Received 21.09.2018

Ю.А. Титов¹, Н.Н. Белявина¹, Н.С. Слободянік¹,
В.В. Чумак², М.В. Тимошенко¹, Л.В. Томазенко¹

¹ Київський національний університет ім. Тараса Шевченка

² Житомирський державний університет ім. Івана Франка
E-mail: tit@univ.kiev.ua

СИНТЕЗ И ОСОБЕННОСТИ СТРОЕНИЯ СЛОИСТОЙ СТРУКТУРЫ SrLa_{1-x}Sm_xInO₄

Определены условия замещения атомов La на атомы Sm в слоистой перовскитоподобной структуре (СПС) индатов SrLa_{1-x}Sm_xInO₄; 0 ≤ x ≤ 0,4. Методом Ритвельда определена ромбическая (пр. гр. Pbca) кристаллическая структура фаз состава SrLa_{1-x}Sm_xInO₄ с x = 0,2 и 0,4. Установлено, что при замещении атомов La на атомы Sm в СПС SrLa_{1-x}Sm_xInO₄ происходит постепенное уменьшение степени деформации межблочных полиэдров (Sr,La,Sm)O₉ и среднего расстояния In–O в октаэдрах InO₆, а также значительно увеличивается длина межблочных связей (Sr,La,Sm)–O₂. С увеличением расстояния между перовскитоподобными блоками уменьшается прочность их связывания между собой, что приводит к разрушению СПС и ограничивает область твердых растворов SrLa_{1-x}Sm_xInO₄ с СПС.

Ключевые слова: индаты SrLa_{1-x}Sm_xInO₄, слоистая перовскитоподобная структура, рентгеновская порошковая дифрактометрия, изоморфизм, твердые растворы.

Y.A. Titov¹, N.M. Belyavina¹, M.S. Slobodyanik¹,
V.V. Chumak², M.V. Timoschenko¹, L.V. Tomazenko¹

¹ Taras Shevchenko National University of Kiev

² Zhytomyr Ivan Franko State University

E-mail: tit@univ.kiev.ua

SYNTHESIS AND STRUCTURAL FEATURES OF SLAB STRUCTURE SrLa_{1-x}Sm_xInO₄

The substitution conditions of La by Sm atoms in the slab perovskite-like structure (SPS) of SrLa_{1-x}Sm_xInO₄ (0 ≤ x ≤ 0.4) indates are determined. Orthorhombic (sp. gr. Pbca) crystal structures of SrLa_{1-x}Sm_xInO₄ phases with x = 0.2 and 0.4 are determined, by using the X-ray powder diffraction methods. Analysis of the obtained data has shown that, in a case of the substitution of La atoms by Sm atoms in SPS of SrLa_{1-x}Sm_xInO₄, a gradual reduction of the deformation degree of interblock (Sr, La, Sm)O₉ polyhedra and the average In–O distance in InO₆ octahedra takes place. Length of (Sr, La, Sm)–O₂ interblock bonds is significantly increased. Increase in the distance between perovskite-like blocks reduces a durability of their bonding. This results in the destruction of SPS and a limitation of the area of SrLa_{1-x}Sm_xInO₄ solid solutions with SPS.

Keywords: indates SrLa_{1-x}Sm_xInO₄, slab perovskite-like structure, X-ray powder diffraction, isomorphism, solid solutions.